

مقاله پژوهشی

مدل‌سازی و بهینه‌یابی پارامترهای انرژی در خشک‌کردن گیاه رزماری با پیش‌تیمار مایکروویو پالسی

ولی رسولی شربیانی^{۱*}، ابراهیم تقی نژاد^۲، رمضان هادی پور رکنی^۳

۱. دانشیار، گروه مهندسی بیوپسیستم، دانشکده کشاورزی و منابع طبیعی، دانشگاه محقق اردبیلی
۲. دانشیار، دانشکده کشاورزی و منابع طبیعی مغان، دانشگاه محقق اردبیلی
۳. دانشجوی دکتری، گروه مکانیک بیوپسیستم، دانشگاه علوم کشاورزی و منابع طبیعی ساری

(تاریخ دریافت: ۹۷/۱۱/۲۱، تاریخ آخرین بازنگری: ۹۸/۳/۱۹، تاریخ پذیرش: ۹۸/۴/۱۶)

چکیده

امروزه استفاده از عملیات پیش‌تیمار برای کاهش زمان و انرژی با هدف کاهش هزینه‌های خشک‌کردن محصولات کشاورزی از جمله گیاهان دارویی مورد توجه قرار گرفته است. در این پژوهش، مدل‌سازی و بهینه‌یابی پارامترهای انرژی در خشک‌کردن گیاه دارویی رزماری با استفاده از پیش‌تیمار مایکروویو پالسی در سه تیمار W₅, W₁₈₀ و W₃₆₀ به مدت ۵ min, ۹۰ min و ۳۶۰ min به مدت ۱/۵ min و تیمار شاهد (بدون عملیات پیش‌تیمار) در یک خشک‌کن همرفتی با دماهای ۴۰, ۵۰ و ۶۰ °C و سرعت هوای ۰/۴ m/s به کمک روش سطح پاسخ مورد ارزیابی قرار گرفت. نتایج نشان داد که با افزایش توان از W₉₀ به W₃₆₀ و دما از ۴۰ به ۶۰ °C توان از ۱۸۰ به ۹۰ و افزایش دما از ۴۰ به ۵۰ °C روند کاهشی پیدا کرد ولی با افزایش توان از ۱۸۰ به W₃₆₀ و افزایش دما از ۵۰ به ۶۰ °C این میزان افزایش یافت. افزایش توان از ۹۰ تا ۳۶۰ و دما از ۴۰ به ۵۰ °C میزان گرمای مخصوص، توان مخصوص و انرژی مخصوص را افزایش داد در حالی که با افزایش دما از ۵۰ به ۶۰ °C این میزان طی معادله درجه دوم روند کاهشی پیدا کرد. بر اساس مدل‌سازی به روش سطح پاسخ، شرایط بهینه جهت حصول بهترین پارامتر انرژی، توان مایکروویو W₃₆₀ و دمای خشک‌کردن ۶۰ °C با مطلوبیت ۹۹/۵٪ تعیین گردید.

واژه‌های کلیدی: بهینه‌یابی انرژی، خشک‌کردن، انرژی مخصوص، بازده حرارتی، رزماری.

۱. مقدمه

خشکشدن) افزایش یافت. همچنین با افزایش توان پیش‌تیمار مایکروویو زمان خشکشدن روند کاهشی داشت. در پژوهش دیگر اکبریان مایمند و همکاران [۱۰] با استفاده از پیش‌تیمار مایکروویو به خشک‌کردن ریشه جوز هندی پرداختند و اثرات ضدمیکروبی آن در مقابله با باکتری‌های بیماری‌زا و کپک‌های عامل فساد بررسی گردید. نتایج نشان داد که استفاده از پیش‌تیمار مایکروویو سبب افزایش خواص ضد میکروبی ریشه جوز هندی خشکشده می‌گردد.

روش سطح پاسخ ابزاری مهم برای بهبود فرایند و محصول به شمار می‌رود. روش سطح پاسخ در واقع مجموعه‌ای از طرح‌های آزمایشی و فن‌های بهینه‌یابی است که آزمایشگر را قادر می‌سازد تا رابطه بین پاسخ و متغیرهای مستقل را تعیین کند. روش سطح پاسخ نوعاً برای ترسیم یک سطح پاسخ در محدوده مورد نظر و بهینه‌یابی پاسخ برای انتخاب شرایط فرایند به منظور دستیابی به مشخصات هدف یا نیازمندی‌های مصرف‌کننده به کار می‌رود [۱۱].

در تحقیقی شرایط مختلف خشک‌کردن افشاهه‌ای بر خواص فیزیکی-شیمیایی و آنتی اکسیدانی گیاه رزماری به روش سطح پاسخ با طرح مرکب مرکزی مورد ارزیابی قرار گرفت [۱۲]. در دیگر گزارشات محققین، تاثیر سطوح مختلف خلایی و توان مایکروویو در خشک کن مایکروویو-خلاء بر ترکیبات بویایی گیاه رزماری مورد ارزیابی قرار داده اند [۱۳، ۱۴]. در تحقیقی شرایط بهینه خشکشدن مغز فندق با تاثیر دما در سه سطح ۴۵، ۴۷ و ۴۸°C، سرعت هوا در سه سطح ۱/۳۰، ۳/۰۹ و ۴/۰۹ m/s و ۶۵ و ۸۵°C، سرعت هوا در سه سطح ۵۰۰، ۱۰۰۰ و ۱۵۰۰ W بررسی شد نقطه بهینه مقادیر متغیرهای پاسخ ضریب نفوذ موثر رطوبت و انرژی مصرفی به ترتیب 10^{-10} m²/s و 13×10^{-3} kWh و $18/76$ کیلووات ساعت بدست آمد [۱۵]. نتایج بررسی تحقیقات قبلی نشان داد که استفاده از روش سطح پاسخ در بهینه سازی رزماری خشک شده تحت خشک کن هم‌رفتی با پیش‌تیمار مایکروویو پالسی تاکنون توسط هیچ محققی گزارش نشده است.

از آنجا که مبحث انرژی به چالش اساسی در دنیای امروز تبدیل شده و میزان بازده در سامانه‌های انرژی دارای اهمیت بالایی می‌باشد، لذا لازم است تا خصوصیات ترمودینامیکی سامانه‌های مورد استفاده به‌طور دقیق مورد بررسی قرار گیرد. بررسی منابع

خشک‌کردن یکی از متدائل‌ترین اشکال فراوری محصولات کشاورزی بوده و هدف از آن افزایش ماندگاری فراورده نهایی است. امروزه اکثر کشورهای پیشرفته دنیا مطالعات گسترشده‌ای در زمینه شناخت گیاهان دارویی مورد استفاده در کشور خود انجام داده‌اند [۱]. در کشور ایران به دلیل تنوع شرایط آب و هوایی، گیاهان دارویی مختلف به صورت طبیعی و به صورت مکانیزه کشت می‌شود که یکی از مهم‌ترین آن‌ها، گیاه دارویی رزماری (Rosmarinus officinalis) است. این گیاه دارای خواص درمانی زیادی از جمله رفع خستگی، ضد تشنج، از بین برنده کرم‌های معده و روده، تقویت عمومی بدن، درمان اختلالات عصبی، درمان سرگیجه، درمان آسم و سیاه سرفه می‌باشد [۲]. از آنجایی که گیاهان به علت تنفس بالا (بعد از عملیات برداشت) خاصیت فساد پذیری زیادی دارند، لذا با استفاده از فناوری‌ها در صنایع تبدیلی می‌توان محصول‌های فاسد شونده را به فراورده هایی با پایداری بالا تبدیل کرد. یکی از فرایندهای مهم تبدیلی به کار رفته برای محصولات کشاورزی (مواد غذایی، گیاهان دارویی و غلات) خشک‌کردن است. که متدائل‌ترین آن، استفاده از جریان هوای گرم است [۳، ۴]. یکی از معیارهای مهم در مرحله خشک‌کردن گیاهان دارویی، محصولات کشاورزی و مواد غذایی، میزان انرژی مصرفی و بازده خشک‌کن‌ها طی این فرایند است [۵، ۶]. لذا مطالعه و اقدام به کاهش زمان فرایند و انرژی مصرفی مورد استفاده در فرایند خشک‌کردن امری ضروری به نظر می‌رسد [۷].

یکی از پیش‌تیمارهایی که می‌توان برای خشک‌کردن گیاهان دارویی استفاده کرد، استفاده از پیش‌تیمار مایکروویو است. نتایج پژوهش‌های محققین نشان می‌دهد که استفاده از مایکروویو در فرایند خشک‌کردن گیاهان دارویی می‌تواند مورد استفاده قرار گیرد [۹]. انتقال سریع حرارت، کاهش زمان فرایند، کمترین میزان تخریب در نمونه‌ها و کنترل شرایط محصول در حال خشک‌شدن از مزیت‌های برجسته استفاده از مایکروویو می‌باشد [۸].

در تحقیقی بررسی اثرات پیش‌تیمار مایکروویو بر ضرایب مدل شبیه‌سازی مورد ارزیابی قرار گرفت [۹]. نتایج این پژوهش نشان داد که با افزایش پارامترهای دما، سرعت جریان هوا و توان مایکروویو، مقادیر ضرایب مدل‌های شبیه‌سازی (آهنگ ثابت

کره، استفاده شد. باید توجه داشت که شرایط اعمال پیش تیمار بر اساس میزان انرژی یکسان برای اعمال پیش تیمار می باشد. با اعمال این سطوح توانی و با این مدت زمان، میزان انرژی مصرفی توسط مایکروویو برای اعمال پیش تیمار برای تمامی نمونهای یکسان بود. $g\cdot 100$ نمونه با محتوای رطوبت اولیه 75% (بر پایه تر) برای خشک کردن در هر مرحله استفاده شد و فرایند خشک کردن تا رسیدن محتوای رطوبت نمونه به 20% (بر پایه تر) ادامه یافت. کاهش وزن نمونه ها طی خشک کردن، توسط ترازو مورد اندازه گیری قرار گرفت. در طول آزمایش های خشک کردن، محدوده میانگین تغییرات دمای محیط $25 \pm 2^{\circ}\text{C}$ و رطوبت نسبی هوا $35 \pm 5\%$ بود.

نشان داد که خشک کن های جریان هوای گرم دارای بازده پایینی هستند، بنابراین به نظر می رسد استفاده از روش هایی که بتواند بازده انرژی و ترمودینامیکی را بهبود بخشد، ضروری است. یکی از این روش ها استفاده از پیش تیمار مایکروویو است. بررسی پژوهش های انجام شده در ارتباط با به کار گیری پیش تیمار مایکروویو در خشک کردن محصولات مختلف کشاورزی و محصولات غذایی نشان داد که در هیچ یک از این پژوهش ها اثرات این پیش تیمار بر خصوصیات ترمودینامیکی بررسی نشده است. لذا در این تحقیق، تاثیر دمای هوای گرم و پیش تیمار مایکروویو بر مقدار بازده انرژی و خواص ترمودینامیکی گیاه رزماری طی خشک کردن، به روش سطح پاسخ مدل سازی و بهینه سازی شد.

۳.۲. محا سبه مقدار انرژی مصرفی در خشک کن جریان

هوای گرم

انرژی حرارتی مصرفی توسط خشک کن جریان هوای گرم برای خشک کردن گیاه دارویی رزماری در دماهای مختلف و سرعت جریان هوای ثابت با استفاده از رابطه (۱) محاسبه شد [۱۶، ۵]. انرژی مکانیکی مصرفی توسط دمنده در خشک کن در طول فرایند خشک کردن از رابطه (۲) و انرژی مخصوص مورد نیاز به ازای خروج یک کیلوگرم رطوبت از محصول در حال خشک شدن با استفاده از رابطه (۳) به دست آمد.

$$(1) \text{ انرژی مصرفی در خشک کن جریان هوای گرم} \\ E_{ter}=A \nu p_a C_a \Delta T t$$

$$(2) \text{ انرژی مکانیکی مصرفی توسط دمنده در خشک کن} \\ E_{mec}=\Delta P \cdot W_{air}t$$

$$(3) \text{ انرژی مصرفی ویژه} \\ S.E.C=\frac{E.U_{(total)}}{M_w}=\frac{E.U_{(mic+mec+ter)}}{M_w}$$

۳.۲. محاسبه مقدار انرژی مصرفی در مایکروویو
انرژی مصرفی در خشک کن مایکروویو در طول عملیات پیش تیمار با استفاده از رابطه (۴) محاسبه شد [۱۷].

$$(4) \text{ انرژی مصرفی در مایکروویو} \\ E_{mic}=P \times t$$

۲. مواد و روش ها

۱.۲. مواد

در این پژوهش از گیاه دارویی رزماری پرورش یافته در مزرعه تحقیقاتی دانشگاه علوم کشاورزی و منابع طبیعی ساری استفاده گردید.

۲.۲. خشک کردن

نمونه های مورد آزمایش به صورت تازه تهیه گردید و پس از آماده شدن خشک کن ها و تنظیم آن ها در سطوح مختلف آزمایشی یک لایه از آن روی بستر خشک کن قرار داده شد. برای تعیین رطوبت گیاه دارویی رزماری طبق استاندارد (AOAC, 1980) ذکر شده، به طور تصادفی، ۵ نمونه 5 g می از توode محصول به مدت 24 h در آون با دمای 70°C قرار داده شد. رطوبت اولیه گیاه دارویی رزماری 75% بر پایه تر به دست آمد. به منظور اندازه گیری رطوبت گیاه دارویی رزماری از استاندارد استفاده شد. آزمایش خشک کردن در این تحقیق با استفاده از یک خشک کن آزمایشگاهی هوای گرم، در سه دمای 40°C ، 50°C و 60°C ، سرعت جریان هوای ثابت 4 m/s و 4 حالت پیش تیمار (بدون پیش تیمار، پیش تیمار مایکروویو با توان $W=90\text{ W}$ به مدت 5 min ، با توان $W=360\text{ W}$ به مدت $1/5\text{ min}$ و $W=180\text{ W}$ به مدت $2/5\text{ min}$ و با توان $W=360\text{ W}$ به مدت $1/5\text{ min}$) در سه تکرار اقدام به خشک کردن گیاه دارویی رزماری به صورت لایه نازک انجام شد. برای انجام پیش تیمار مایکروویو از دستگاه سولاردام مدل MS93WCR، شرکت LG، ساخت کشور

۹.۲ انرژی لازم برای تبخیر رطوبت از محصول

انرژی لازم برای تبخیر رطوبت از محصول حین فرایند خشک کردن رزماری را می‌توان از رابطه (۱۰) محاسبه کرد [۱۸]. گرمای نهان تبخیر رزماری را می‌توان از رابطه (۱۱) به دست آورد [۱۶]. رابطه (۱۱) با شرط $T(K) \leq 338.72$ و $273.16 \leq T(K) \leq 533.16$ برقرار است.

(۱۰) انرژی لازم برای تبخیر رطوبت از محصول

$$Q_w = h_{fg} \cdot M_{w,ev}$$

(۱۱) گرمای نهان تبخیر

$$h_{fg} = 2.503 \times 10^6 - 2386 \times 10^3 (T - 273.16)$$

۱۰.۲ انرژی لازم برای بالا بردن دمای محصول

انرژی لازم برای افزایش دمای محصول از دمای اولیه (دمای قبل از ورود محصول به داخل محفظه خشک کن) به دمای نهایی (بالاترین دمای محصول) و ضریب خشک کردن را می‌توان به ترتیب از روابط (۱۲) [۱۹] و (۱۳) [۲۰] محاسبه کرد.

(۱۲) انرژی لازم برای بالا بردن دمای محصول

$$Q_m = W_d C_m (T_{m2} - T_{ml})$$

$$C_m = 1465 + 3560 \left(\frac{M_p}{1+M_p} \right)$$

$$M_p = \left(\frac{W_w - W_d}{W_d} \right)$$

(۱۳) ضریب خشک شدن

$$LM = \left(\frac{Q_w}{E_{airPumping}} \right)$$

۱۱.۲ تجزیه و تحلیل آماری و بهینه‌یابی فرایند

روش سطح پاسخ مجموعه‌ای از فن‌های آماری است که در بهینه‌یابی فرایندهایی به کار می‌رود که پاسخ مورد نظر به واسطه تعدادی از متغیرها تحت تأثیر قرار می‌گیرد. شمای گرافیکی مدل ریاضی سبب تعریف واژه روش سطح پاسخ شده است. با کمک این طرح آماری، کلیه ضرایب مدل رگرسیون درجه دوم و اثر متقابل متغیرها، قابل برآورد هستند. مهم‌ترین مسئله‌ی این تحقیق بررسی آثار اصلی و متقابل متغیرها است، از این‌رو طرح آماری سطح پاسخ انتخاب شد [۱۸]. در بررسی پارامترهای انرژی،

۴.۲ بازده خشک کردن

بازده خشک شدن عبارت است از تقسیم مجموع انرژی لازم برای گرم کردن محصول در حال خشک شدن و انرژی لازم برای تبخیر رطوبت به کل انرژی مصرفی در طول فرایند خشک شدن که از رابطه (۵) به دست آمد [۱۸].

(۵) بازده خشک شدن

$$\text{Drying efficiency} = \frac{E_{Heating+Evaporation}}{E_{total}}$$

۵.۲ بازده انرژی

بازده انرژی از تقسیم انرژی لازم برای تبخیر رطوبت از محصول در حال خشک کردن به کل انرژی مصرفی در طول فرایند خشک شدن از رابطه (۶) به دست می‌آید [۱۸].

(۶) بازده انرژی

$$\text{Energy efficiency} = \frac{E_{evaporation}}{E_{total}}$$

۶.۲ بازده حرارتی

بازده حرارتی عبارت است از تقسیم میزان رطوبت تبخیر شده از محصول به میزان گرمای مصرفی که از رابطه (۷) محاسبه شد [۱۸].

(۷) بازده حرارتی

$$\text{Thermal efficiency} = \frac{M_{evaporation}}{H_{total}}$$

۷.۲ گرما (حرارت) مصرفی مخصوص

گرمای مصرفی مخصوص حاصل تقسیم کل گرمای مصرفی در طول فرایند خشک کردن به وزن کل رطوبت خارج شده از محصول است که رابطه (۸) محاسبه شده و عکس بازده حرارتی است [۱۸].

(۸) گرما (حرارت) مصرفی مخصوص

$$\text{Specific heat consumption} = \frac{H_{total}}{M_{evaporation}}$$

۸.۲ بازده همرفتی سامانه (ضریب خشک کردن)

بازده همرفتی سامانه (ضریب خشک کردن) برای خشک کردن رزماری با استفاده از رابطه (۹) به دست آمد [۱۸].

(۹) بازده همرفتی سامانه

$$\text{Convective efficiency} = \frac{T_1 - T_2}{T_1 - T_{amb}}$$

(توان مایکروویو) و A^2 بر تمامی پارامترهای انرژی، معنی دار ($p < 0.05$) بود. علاوه بر این متغیرهای مستقل، متغیر $B \times A$ بر مقدار ضریب خشک‌کردن، اثر معنی داری ($p < 0.05$) داشت. به عبارت دیگر، متغیرهای مستقلی که اثر آن بر پارامترهای انرژی معنی دار نبودند، از مدل حذف شدند. در شکل (۱)، زمان خشک‌کردن در شرایط مختلف برای نمونه‌های پیش‌تیمار شده در مقایسه با نمونه شاهد (بدون پیش‌تیمار) نشان داده شده است. مطابق شکل (۱)، زمان خشک‌کردن در نمونه‌های پیش‌تیمار شده نسبت نمونه شاهد در سطح پایین‌تری قرار دارد. همچنین با افزایش دمای خشک‌کردن و توان مایکروویو، زمان خشک‌کردن کاهش یافت. با اعمال پیش‌تیمار، منافذ لایه‌ی سطحی محصول باز شده و همچنین با افزایش دما، گرادیان حرارتی زیاد می‌شود و این دو عامل موجب تغییر سریع رطوبت می‌گردد درنتیجه زمان خشک‌کردن کاهش خواهد یافت [۲۵].

اثر متغیرهای مستقل شامل دمای خشک‌کردن و توان مایکروویو هریک در ۳ سطح ارزیابی شد. در ضمن، کلیه‌ی متغیرها به روش سطح پاسخ از طریق طرح داده‌های واقعی مورد تجزیه و تحلیل قرار گرفت. در روش سطح پاسخ، سطح مورد نظر تحت تأثیر متغیرهای بسیاری قرار دارد و هدف عبارت از بهینه کردن پاسخ مذبور است. برای به دست آوردن مقدار بهینه (Y_i)، از حل رابطه رگرسیون (۱۳) استفاده شد [۲۱].

$$Y_i = \beta_0 + \sum \beta_i X_i + \sum \beta_{ij} X_i X_j + \sum \beta_{ii} X_i^2 + \varepsilon \quad (14)$$

که در آن، β_0 ، β_i و β_{ij} ضرایب ثابت رگرسیون، x_i و x_j متغیرهای مستقل در فرایند و ε خطای تصادفی است. مدل‌های ریاضی برای هر پاسخ با تجزیه رگرسیون خطی چندگانه، ارزیابی شدند. معنادار بودن آماری عبارت‌ها در معادله رگرسیونی در سطح اطمینان ۹۵ درصد ($p < 0.05$) برسی گردید. جهت برآش داده‌ها و رسم نمودارها نیز از نرم‌افزار دیزاین اکسپرت ۷ استفاده شد [۲۲]. در انتهای، نقطه بهینه فرایند با توجه به شرایط مرزی، توابع هدف (بالاترین راندمان انرژی) به دست آمد.

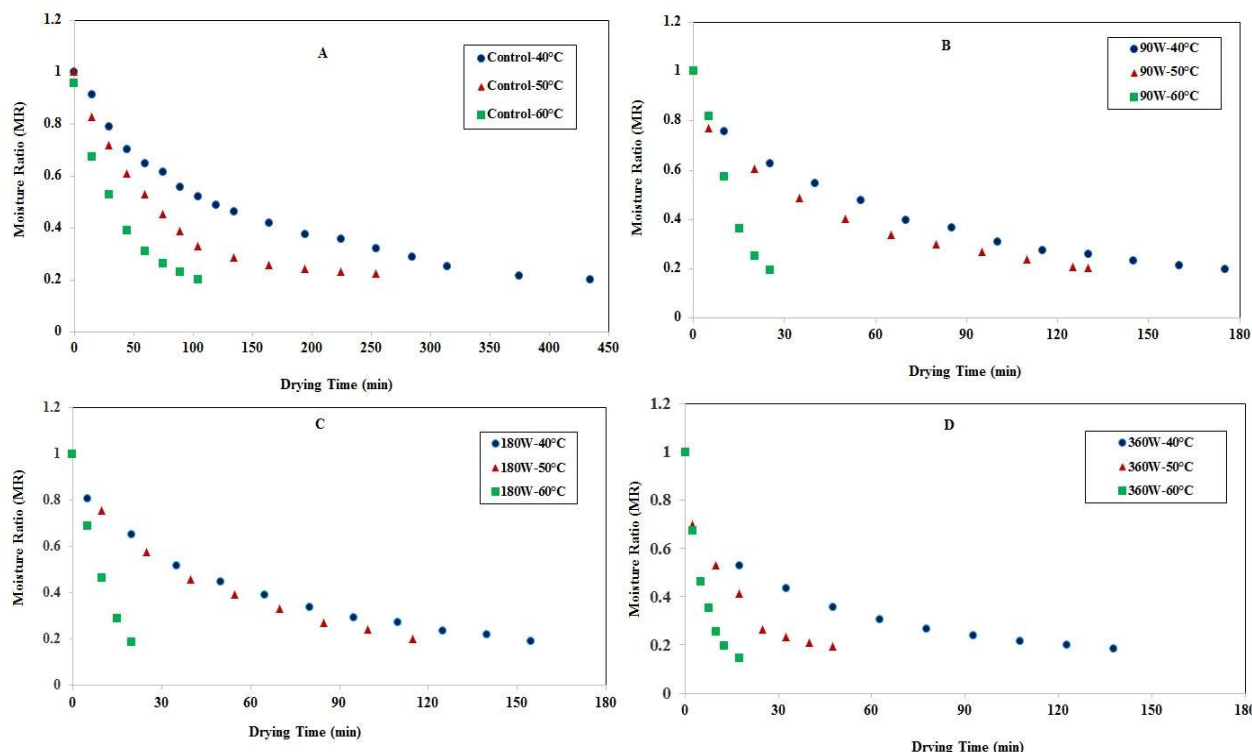
۱.۳. بازده انرژی و خشک‌کردن

در شکل (۲) اثر همزمان توان مایکروویو و دمای هوا بر مقدار بازده انرژی و خشک‌کردن نشان داده شده است. مطابق این اشکال، با افزایش توان مایکروویو از ۹۰ تا ۳۶۰ وات، مقدار بازده انرژی و خشک‌کردن به ترتیب از ۵/۹٪ تا ۱۵/۱۸٪ و ۶/۲ تا ۱۶/۸٪ افزایش یافت. بازده انرژی و خشک‌شدن ابتدا روند نزولی داشته (از دمای ۴۰ به 50°C) و سپس روند صعودی (از دمای ۵۰ به 60°C) داشته است. دلیل این امر آن است که دمای خشک‌کردن 40°C نسبت به دو دمای دیگر به دمای محیط نزدیک بوده و میزان انرژی کمی صرف فرایند خشک‌کردن می‌گردد. از طرف دیگر در دمای 60°C نیز میزان دو پارامتر بازده انرژی و خشک‌کردن بالا است که دلیل این امر می‌تواند سرعت بالای خشک‌شدن نمونه‌ها باشد. سرعت بالای خشک‌شدن نمونه‌ها به دلیل اختلاف گرادیان حرارتی بین محصول و دمای خشک‌کردن اتفاق می‌افتد و به دنبال آن زمان خشک‌شدن و انرژی مصرفی کاهش می‌یابد. بیشترین و کمترین مقدار بازده انرژی (به ترتیب ۱۵/۱۸ و ۵/۹٪) و بازده خشک‌کردن (به ترتیب ۹۰ و $16/77$ و $16/17$ ٪) به ترتیب در تیمار $W - 360^{\circ}\text{C}$ مشاهده شد. این نتایج با گزارش‌های منتشر شده توسط دیگر محققان سازگار است [۱۹]. آن‌ها روش‌های مختلف خشک‌کردن را بر بازده انرژی و خشک‌کردن گیاه باونه را مورد بررسی

۳. نتایج و بحث

برای این‌که مدل توانایی خوبی برای برآش اطلاعات داشته باشد لازم است که ضریب تبیین پیش‌بینی شده و ضریب تبیین اصلاح‌شده دارای بالاترین مقدار باشد. ضریب تبیین (R^2) به عنوان نسبت تغییرات توصیف شده توسط مدل به تغییرات کل بیان می‌شود که معیاری از درجه تناسب برآش است. بنابراین، هرچه مقدار R^2 به یک نزدیک‌تر شود (حداقل ۰/۸ باشد)، قدرت مدل برآش یافته در توصیف تغییرات پاسخ به عنوان تابعی از متغیرهای مستقل بیشتر خواهد بود [۲۳]. با توجه معنی دار نشدن شاخص عدم برآش در آنالیز واریانس و مقدار ضریب تغییرات برای مدل درجه دوم، می‌توان نتیجه گرفت که با توجه به رابطه و ضرایب خطا در جدول (۱)، این مدل‌ها بهترین مدل برای تخمین پارامترهای انرژی می‌باشد. همان‌طور که در مدل‌های ارائه شده در جدول مشاهده می‌شود، علامت مثبت و منفی ضرایب متغیرهای مستقل، به ترتیب بیانگر اثر فراینده و کاهنده متغیر نام برده بر مقدار پارامترهای انرژی است [۲۴]. مطابق جدول (۱)، تاثیر متغیرهای مستقل A (دمای خشک‌کردن)، B

انرژی با افزایش توان، در ابتدا روند افزایشی و سپس روند کاهشی قرار داده‌اند. آن‌ها بیان کرده‌اند با افزایش دما، بازده انرژی روند افزایشی دارد. همچنین در خشک کردن به روش مایکروویو، بازده از خود نشان داد.



شکل (۱) روند تغییرات نسبت رطوبت در برابر زمان خشک شدن تحت تیمارهای مختلف آزمایشی

Fig. 1. The trend of changes in moisture ratio versus drying time under different experimental pretreatments

جدول (۱) معادله رگرسیونی متغیرهای پاسخ برای تاثیر دمای خشک کردن و توان مایکروویو بر پارامترهای انرژی

Table 1 Regression equation of response variable for drying temperature and microwave power effect on energy parameters

Response variable متغیرهای پاسخ	Equation معادله	R ² value	Adj R ²	Pred R ²	C.V. (%)
Energy efficiency (%) بازده انرژی	110.91281 - 4.38013×A + 0.017063×B + 0.044928×A ²	0.95	0.92	0.83	8.58
Drying efficiency (%) بازده خشک کردن	119.03061 - 4.71773×A + 0.020729×B + 0.048374×A ²	0.95	0.93	0.84	8.66
Thermal efficiency (%) بازده حرارتی	465.15529 - 18.39328×A + 0.0749×B + 0.188640×A ²	0.95	0.92	0.83	8.60
Drying coefficient ضریب خشک کردن	1.626 - 0.074457×A - 7.12×10 ⁻⁴ ×B + 2.45×A×B + 9.73×10 ⁻⁴ ×A ²	0.99	0.98	0.93	11.97
Convective efficiency (%) بازده همروفتی	221.09197 - 9.05103×A + 0.032896×B + 0.095154×A ²	0.99	0.98	0.95	5.84
Specific heat consumption (MJ/kg) گرمای مصرفی ویژه	-237.68247 + 11.38907×A - 0.043222×B - 0.116269×A ²	0.92	0.89	0.85	14.66
Specific power consumption (MJ/kg) توان مصرفی ویژه	-178.26185 + 8.54180×A - 0.032417×B - 0.087202×A ²	0.92	0.89	0.85	14.66
Specific energy consumption (MJ/kg) انرژی مصرفی ویژه	-233.53224 + 11.43103×A - 0.045967×B - 0.117860×A ²	0.93	0.88	0.83	14.63

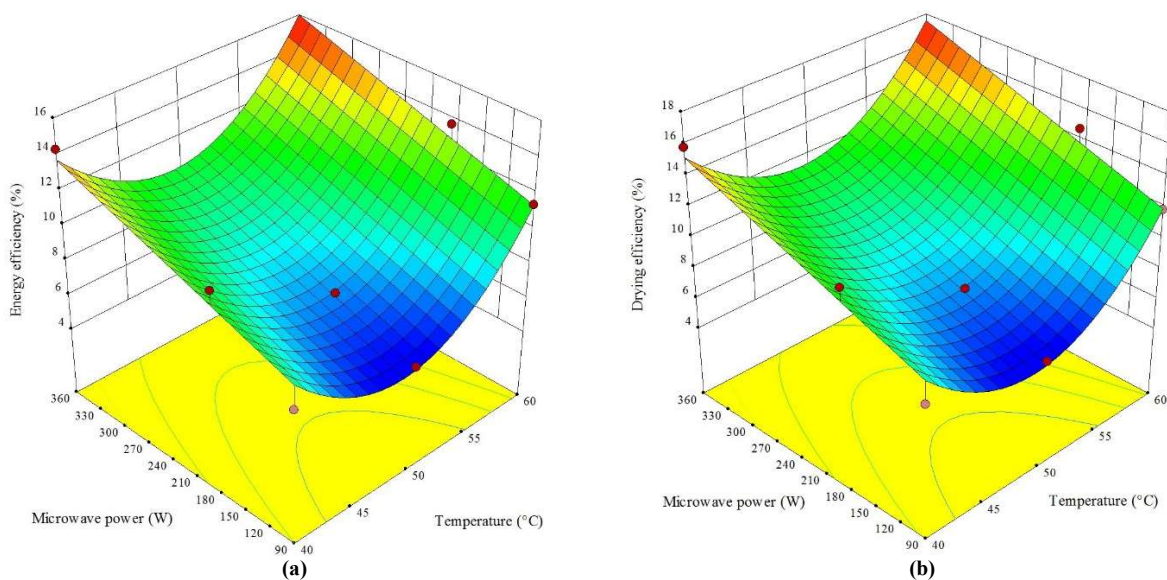
خواهد داشت. در حالی که با افزایش دمای خشک‌کردن از 50°C به 60°C , اختلاف دمای خشک‌کردن با دمای محیط افزایش یافته و به نوبه‌ی آن، زمان خشک‌شدن محصول نیز کاهش می‌یابد. در نتیجه شاهد کاهش میزان گرما، توان و انرژی مصرفی بوده‌ایم. محققان دیگر هم نتایج مشابه‌ی را گزارش داده‌اند [۲۶، ۵، ۲۶]. آن‌ها ارزیابی روش‌های مختلف خشک‌کردن در مقدار انرژی مصرفی مورد بررسی قرار داده‌اند و بیان کرده‌اند که با اعمال پیش‌تیمار مایکروویو و افزایش توان آن، زمان خشک‌کردن و به نوبه‌ی آن انرژی مصرفی کاهش خواهد یافت.

۳.۳ ضریب خشک‌کردن

اثر متقابل توان مایکروویو و دمای هوای گرم بر مقدار ضریب خشک‌کردن در شکل (۴) نشان داده شده است. با افزایش توان (از 90 W تا 360 W) و دمای هوای گرم (از 40°C تا 60°C) مقدار ضریب خشک‌کردن (از $0.79/77$ تا $0.7/79$) طی معادله درجه دوم افزایش یافت. متغیرهای مستقل دمای هوای گرم (A)، توان مایکروویو (B)، و اثرات متقابل آن‌ها ($A \times B$) بر مقادیر پاسخ (ضریب خشک‌کردن) اثر معنی داری ($p < 0.05$) داشت (جدول ۱). مطابق شکل (۴)، با ثابت نگه داشتن توان مایکروویو و افزایش دمای هوای گرم، مقدار ضریب خشک‌کردن افزایش یافت. به علاوه، با ثابت نگه داشتن دمای هوای گرم و افزایش توان مایکروویو، نیز مقدار ضریب خشک‌کردن روند افزایشی داشت.

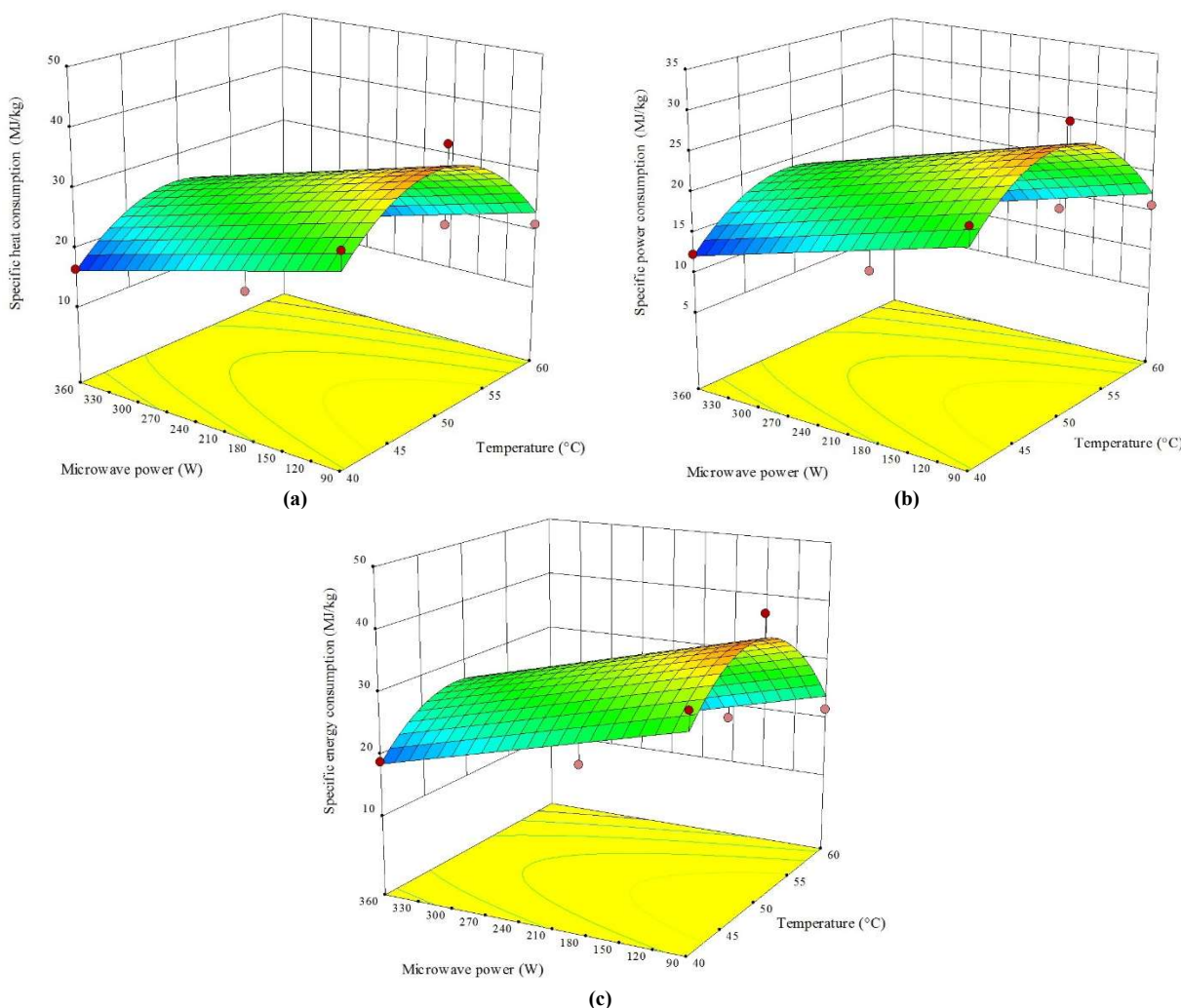
۲.۳. گرمای مخصوص، توان مخصوص و انرژی مخصوص صرفی

مطابق شکل (۳) مقادیر گرمای مخصوص، توان مخصوص و انرژی مخصوص مصرفی به ترتیب بین $15/5$ تا $40/8\text{ MJ/kg}$ ، $15/9$ تا $30/6\text{ MJ/kg}$ و $11/7$ تا $43/0/2\text{ MJ/kg}$ تغییر کرد. جدول (۱) معادلات به دست آمده توسط مدل برآورش شده با داده‌های آزمایش را نشان می‌دهد. نتایج نشان داد که اثرات دمای هوای (A) توان مایکروویو (B) و متغیر A^2 بر مقادیر گرمای مخصوص، توان مخصوص و انرژی مخصوص مصرفی از نظر آماری معنی دار بود ($P < 0.01$). همانطور که در شکل (۳) نشان داده شده، روند تغییرات میزان گرما، توان و انرژی مخصوص مصرفی ابتدا صعودی (از 40°C به 50°C) و سپس روند آن به صورت نزولی (از 50°C به 60°C) بود. کمترین و بیشترین میزان توان مخصوص، انرژی مخصوص مصرفی و گرمای مخصوص به ترتیب مربوط به شرایط $60^{\circ}\text{C} - 360\text{ W}$ و $50^{\circ}\text{C} - 50\text{ W}$ بود. با توجه به آزمایش‌ها، بالاترین میزان این سه پارامتر انتظار می‌رفت که در دمای 40°C باشد در صورتی که کمترین مقدار آن در این دما اتفاق افتد. زیرا با نزدیک بودن دمای خشک‌کردن به دمای محیط، میزان گرما، توان و انرژی مصرفی در سطح پایین‌تری قرار خواهد گرفت. اما با افزایش دمای خشک‌کردن از 40°C به 50°C ، درنتیجه با ایجاد اختلاف دمای خشک‌کردن و دمای محیط، زمان خشک‌کردن افزایش یافته و بنابراین میزان این سه پارامتر روند صعودی



شکل (۲) سطوح پاسخ و منحنی تراز برای (a) بازده خشک‌کردن: اثر متقابل بین توان مایکروویو و درجه حرارت

Fig. 2. Response surface and contour plots for a) energy efficiency and b) drying efficiency: interaction effect between microwave power (W) and air temperature (°C)



شکل (۳) سطوح پاسخ و منحنی تراز برای a) گرمای مخصوص، b) توان مخصوص و c) انرژی مخصوص مصرفی: اثر متقابل بین توان مایکروویو و درجه حرارت

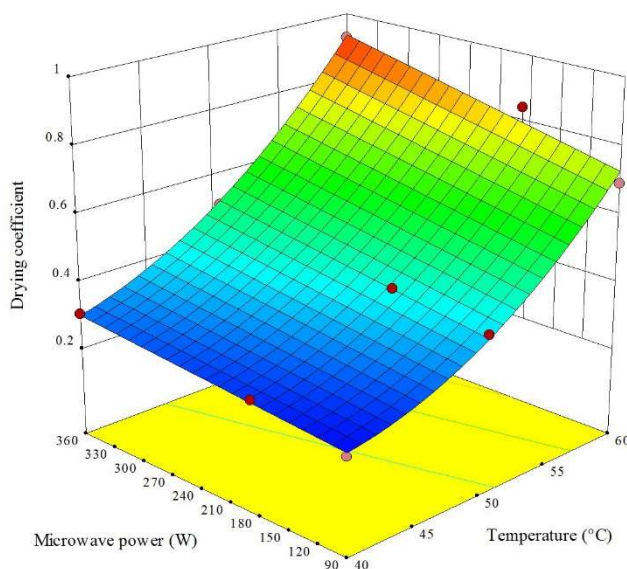
Fig. 3. Response surface and contour plots for a) specific heat consumption, b) specific power consumption and c) specific energy consumption: interaction effect between microwave power (W) and air temperature (°C)

شکل (۵) نشان داده شده است. پایین‌ترین مقدار بازده حرارتی و بازده همرفتی به ترتیب به میزان $24/53\text{ Kg/KJ}$ و $5/9\%$ در دمای 50°C و توان مایکروویو 90 W و بالاترین مقدار بازده حرارتی و بازده همرفتی به ترتیب میزان $64/32\text{ Kg/KJ}$ و $3/33\%$ در دمای 60°C و توان مایکروویو 360 W اتفاق افتاد. این دو پارامتر از دمای 50°C به 60°C و از دمای 40°C به 50°C به ترتیب روند صعودی و نزولی داشت. زیرا در دمای 40°C اختلاف کمی بین دمای محیط و دمای خشک کردن وجود دارد و در نتیجه تلفات حرارت به محیط، کمتر خواهد شد و انرژی مصرفی توسط گرمکن‌ها طی خشک کردن در سطح پایین‌تری قرار می‌گیرد. بنابراین میزان

در این خشک کن، دمای هوای گرم به عنوان موثرترین عامل بر مقدار ضریب خشک کردن رزماری بود. این نتایج با گزارش‌های منتشر شده توسط دیگر محققان سازگار است [۲۹، ۱۹]. آن‌ها با بررسی خشک‌کن‌های مختلف بر محصول‌های کشاورزی بیان کردند که با افزایش دمای هوای ورودی، مقدار ضریب خشک کردن روند افزایشی داشت.

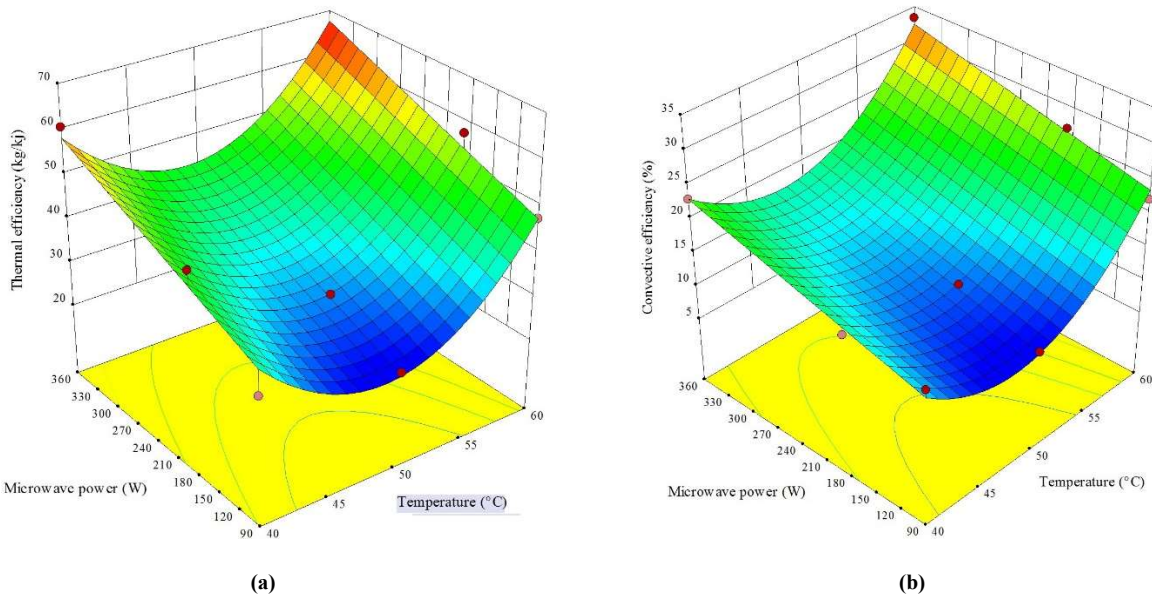
۴.۳ بازده حرارتی و بازده همرفتی سامانه

تغییرات بازده حرارتی و بازده همرفتی سامانه تحت دما و توان‌های مختلف مایکروویو برای خشک شدن گیاه دارویی رزماری در



شکل (۴) سطوح پاسخ و منحنی تراز برای ضریب خشک کردن: اثر متقابل بین توان مایکروویو و درجه حرارت

Fig. 4. Response surface and contour plots for drying coefficient: interaction effect between microwave power (W) and air temperature (°C)



شکل (۵) سطوح پاسخ و منحنی تراز برای بازده حرارتی و همرفتی: اثر متقابل بین توان مایکروویو و درجه حرارت

Fig. 5. Response surface and contour plots for thermal and coefficient efficiency: interaction effect between microwave power (W) and air temperature (°C)

کاهش زمان خشک شدن گیاه رزماری در این دما، میزان بازده همرفتی روند افزایشی داشت. همچنین نتایج مشابهی را نیز با اعمال پیش تیمار نیز می‌توان مشاهده کرد. بالا بودن میزان این دو پارامتر نشان از کارایی سامانه خشک کن می‌باشد و نتایج نشان می‌دهد که اعمال پیش تیمار مایکروویو با توان ۳۶۰ W سبب افزایش

بازده همرفتی، افزایش خواهد یافت. اما افزایش دما به ۵۰°C، موجب افزایش اختلاف دمایی سامانه با محیط شده، و زمان خشک کردن (شکل ۱) زیاد می‌گردد که این امر موجب اتلاف حرارتی زیاد می‌گردد و بازده همرفتی کاهش خواهد یافت. در حالی که در دمای ۶۰°C، افزایش اختلاف دمایی ایجاد شده بین محیط و دمای خشک کردن موجب اتلاف بالا می‌گردد اما به علت

۴. نتیجه‌گیری

در تحقیق حاضر با ارزیابی خشک کردن گیاه دارویی رزماری تحت پیش‌تیمارهای مایکروویو با کمک روش سطح پاسخ، بیشترین و کمترین مقدار بازده انرژی (به ترتیب ۱۵/۱۸ و ۰/۵۹۱) و خشک کردن (به ترتیب ۱۶/۷۷ و ۰/۶۱۷) به ترتیب در تیمار w ۳۶۰ - ۵۰ °C و ۶۰ °C - ۹۰ به دست آمد. کمترین و بیشترین میزان گرمای مخصوص (به ترتیب ۱۵/۵ و ۴۰/۸ MJ/kg)، توان مخصوص (۱۵/۹ و MJ/kg ۳۰/۶) و انرژی مخصوص مصرفی (۱۵/۹ و ۴۳/۰۲ MJ/kg) به ترتیب در تیمار ۶۰ °C - ۳۶۰ W و ۵۰ °C - ۹۰ W بوده است. با افزایش توان (از ۹۰ تا ۳۶۰ W و دمای هوای گرم (از ۴۰ تا ۶۰ °C) مقدار ضریب خشک کردن (از ۰/۷۹ تا ۰/۷۷) طی معادله درجه دوم افزایش یافت. پایین‌ترین مقدار بازده حرارتی (Kg/KJ) (۲۴/۵۳) و بازده همرفتی (۰/۹۵۷) در تیمار ۵۰ °C - ۹۰ W و بالاترین مقدار بازده حرارتی (Kg/KJ) (۶۴/۳۲) و بازده همرفتی (۰/۳۳/۳۳) در تیمار ۶۰ °C - ۳۶۰ W به دست آمد. تاثیر دمای هوای گرم و توان مایکروویو بر مقدار بازده انرژی و خواص ترمودینامیکی در خشک-شدن گیاه رزماری، به کمک روش سطح پاسخ طی معادله درجه دوم مدل‌سازی شد. شرایط بهینه برای بازده انرژی (۰/۱۵/۹۹)، بازده خشک کردن (۰/۱۷/۵۷)، بازده حرارتی (KJ/Kg) (۶۷/۶۳)، ضریب خشک کردن (۰/۸۰۳)، بازده همرفتی (۰/۳۲/۴۳)، گرمای مخصوص مصرفی (۰/۱۱/۵۳ MJ/Kg) توان مخصوص مصرفی (۰/۸/۶۵ MJ/Kg) و انرژی مخصوص مصرفی (۰/۱۱/۴۸ MJ/kg) طی دمای هوای گرم ۶۰ °C و توان مایکروویو W ۳۶۰ با مطلوبیت ۹۹/۵٪ گزارش شد.

کارایی سامانه می‌گردد. نتایج مشابه توسط دیگر محققان گزارش شد [۳۴، ۲۹، ۱۹]. این محققان روش‌های مختلف خشک کردن را بر خواص خشک کردن محصول-های کشاورزی مورد بررسی قرار داده‌اند و گزارش داده‌اند که با افزایش زمان خشک کردن، مقدار بازده همرفتی، کاهش یافته.

۵. بهینه سازی

شرایط بهینه فرایند خشک کردن به روش همرفتی با پیش‌تیمار مایکروویبرای دستیابی به بهینه بازده انرژی، خشک کردن، حرارتی، همرفتی و ضریب خشک کردن و کمترین گرمای مخصوص، توان مخصوص و انرژی مخصوص مصرفی تعیین شد. در این مطالعه مدل‌های چندجمله‌ای درجه دوم به دست آمده برای هر پاسخ مورد استفاده قرار گرفتند تا شرایط بهینه خاص تعیین شود. این مدل‌های رگرسیونی تنها در حوزه انتخاب شده اعتبار دارند. بنابراین، ناحیه عملیاتی با در نظر گرفتن تعدادی از محدودیت‌های اقتصادی، صنعتی و کیفیتی محصول تعیین شد [۲۱]. در این تحقیق، دمای هوای گرم و توان مایکروویو به ترتیب در محدوده ۴۰ تا ۶۰ °C و ۹۰ و ۳۶۰ W انتخاب شدند. با به کار گیریتابع مطلوبیت، دمای هوای گرم ۶۰ °C و توان مایکروویو W ۳۶۰ به عنوان شرایط بهینه برای بازده انرژی (۰/۱۵/۹۹)، بازده خشک کردن (۰/۱۷/۵۷)، بازده حرارتی (۰/۶۷/۶۳ KJ/Kg)، ضریب خشک کردن (۰/۸۰۳)، بازده همرفتی (۰/۳۲/۴۳)، گرمای مخصوص مصرفی (۰/۱۱/۵۳ MJ/Kg) مخصوص مصرفی (۰/۸/۶۵ MJ/Kg) و انرژی مخصوص مصرفی (۰/۱۱/۴۸ MJ/kg) با مطلوبیت ۹۹/۵٪ به دست آمد.

منابع

- analysis, processing and quality control of food: A review. *Food Res. Int.*, 48, 410-427.
- [4] Rawson, A., Tiwari, B., Tuohy, M., O'Donnell, C., and Brunton, N. (2011). Effect of ultrasound and blanching pretreatments on polyacetylene and carotenoid content of hot air and freeze dried carrot discs. *Ultrasonics Sonochemistry.*, 18, 1172-1179.
- [5] Motevali, A., Minaei, S., Khoshtaghaza, M.H., and Amirnejat, H. (2011a). Comparison of energy consumption and specific energy requirements of

- [1] AhmadiChenarbon, H., Minaei, S., Bassiri, A., Almassi, M., and Arabhosseini, A. (2011). Effective parameters on drying of Hypericum perforatum L. leaves. *J. Med. Plan. Res.*, 5, 4530-4536.
- [2] Omidbeige, R. (2005). *Production and processing of medicinal plants*. Astan Goods razavi., mashhad., iran. [In Persian]
- [3] Awad, T., Moharram, H., Shaltout, O., Asker, D., and Youssef, M. (2012). Applications of ultrasound in

- 111, 229-241.
- [17] Ozkan, I.A., Akbudak, B., and Akbudak, N. (2007). Microwave drying characteristics of spinach. *J. Food Eng.*, 78, 577-583.
- [18] Vieira, M., Estrella, L., and Rocha, S. (2005). *Energy efficiency and drying kinetics of recycled paper in convective drying*. In: Proceedings of the 3rd Inter-American Drying Conference, Montreal, Canada.
- [19] Motevali, A., Minaei, S., Banakar, A., Ghobadian, B., and Khoshtaghaza, M.H. (2014). Comparison of energy parameters in various dryers. *Eng. Con. & Man.*, 87, 711-725.
- [20] Vieira, M., Estrella, L., and Rocha, S. (2007). Energy efficiency and drying kinetics of recycled paper pulp. *Dry. Tech.*, 25, 1639-1648.
- [21] Mansourpoor, M. and Shariati, A. (2012). Optimization of biodiesel production from sunflower oil using response surface methodology. *J. Chem. Eng. Pro. Tech.*, 3, 151-163.
- [22] Kargozari, M., Moini, S., and EmamJomeh, Z. (2010). Prediction of some physical properties of osmodehydrated carrot cubes using response surface methodology. *J. Food Pro. & Preservation.*, 34, 1041-1063.
- [23] Bekers, M., Grube, M., Upite, D., Kaminska, E., Linde, R., Scherbaka, R., and Danilevich, A. (2007). Carbohydrates in Jerusalem artichoke powder suspension. *Nut. & Food Sci.*, 37, 42-49.
- [24] Krishna, D., Krishna, K.S., and Sree, R.P. (2013). Response surface modeling and optimization of chromium (vi) removal from aqueous solution using borasus flabellifer coir powder. *Int. J. Appl. Sci. Eng.*, 11, 213-226.
- [25] Motevali, A., S. Minaei., M. H. Khoshtaghaza., M. H. Azizi. (2013). Effect of microwave pretreatment on drying time of pomegranate arils and Simulation model coefficients. *Quar. J. Sci. & Food Ind.*, 38, 113-126.
- [26] Motevali, A., Abbaszadeh, A., Minaei, S., Khoshtaghaza, M.H., and Ghobadian, B. (2012). Effective Moisture Diffusivity, Activation Energy and Energy Consumption in Thin-layer Drying of Jujube (*Zizyphus jujube* Mill). *J. Agr. Sci. & Tech.*, 14, 523-532.
- [27] Sami, S., Etesami, N., and Rahimi, A. (2011). Energy and exergy analysis of an indirect solar cabinet dryer based on mathematical modeling results. *Energy*, 36, 2847-2855.
- [28] Catton, W., Carrington, G., and Sun, Z. (2011). Exergy analysis of an isothermal heat pump dryer. *Energy*, 36, 4616-4624.
- [29] Feng, H., Tang, J., Cavalieri, R., and Plumb, O. (2001). Heat and mass transport in microwave drying of different methods for drying mushroom slices. *Energy*, 36, 6433-6441.
- [6] Motevali, A., Minaei, S., and Khoshtaghaza, M.H. (2011b). Evaluation of energy consumption in different drying methods. *Energy Con. & Man.*, 52, 1192-1199.
- [7] Chua, K., Mujumdar, A., A Hawlader, M., Chou, S., and Ho, J.(2000). Effect of continuous and stepwise change in drying temperature on drying characteristics and product quality. In: Proceedings of the Korean Society for Agricultural Machinery Conference. Korean Society for Agricultural Machinery.
- [8] Wang, J., Xiong, Y.-S., and Yu, Y. (2004). Microwave drying characteristics of potato and the effect of different microwave powers on the dried quality of potato. *Euro. Food Res. & Tech.*, 219, 500-506.
- [9] Motevali, A., S. Minaei., M. H. Khoshtaghaza., M. H. Azizi. (2013). Effect of microwave pretreatment on drying time of pomegranate arils and Simulation model coefficients. *Quar. J. Sci. & Food Ind.*, 38, 113-126.
- [10] Akbarian Mymand, M.J., Faraji Kafshgari, S., Mahmodi, E., Vatankhah, M. (2014). The Effect of using microwave pretreatment in drying roots nutmeg on antimicrobial properties against pathogenic bacteria and spoilage molds. *Iran. J. Med. Micro.*, 9, 47-55. [In Persian]
- [11] Chemat, S., Aït-Amar, H., Lagha, A., and Esveld, D. (2005). Microwave-assisted extraction kinetics of terpenes from caraway seeds. *Chem. Eng. & Pro: Pro. Intensification.*, 44, 1320-1326.
- [12] Couto, R.O., Conceição, E.C., Chaul, L.T., Oliveira, E.M.S., Martins, F.S., Bara, M.T.F., Rezende, K.R., Alves, S.F., and Paula, J.R. (2012). Spray-dried rosemary extracts: Physicochemical and antioxidant properties. *Food Chem.*, 131, 99-105.
- [13] Calín-Sánchez, Á., Szumny, A., Figiel, A., Jędrzejski, K., Adamski, M., and Carbonell-Barrachina, Á.A. (2011). Effects of vacuum level and microwave power on rosemary volatile composition during vacuum-microwave drying. *J. Food Eng.*, 103, 219-227.
- [14] Szumny, A., Figiel, A., Gutiérrez-Ortíz, A., and Carbonell-Barrachina, A.A. (2010). Composition of rosemary essential oil (*Rosmarinus officinalis*) as affected by drying method. *J. Food Eng.*, 97, 253-260.
- [15] Ahmadi Ghavidelan, M., Amiri Chayjan, R. (2017). Optimization of hazelnut kernel drying in an infrared dryer with microwave pretreatment using response surface methodology. *J. Food Sci. & Tech.*, 64, 102-111.
- [16] Aghbashlo, M., Mobli, H., Rafiee, S., and Madadlou, A. (2012). Energy and exergy analyses of the spray drying process of fish oil microencapsulation. *Bio. Eng.*,



porous materials in a spouted bed. *AIChE J.*, 47, 1499-1512.

[30] Mousa, N., and Farid, M. (2002). Microwave vacuum drying of banana slices. *Dry. Tech.*, 20, 2055-2066.

[31] McMinn, W. (2006). Thin-layer modelling of the convective, microwave, microwave-convective and microwave-vacuum drying of lactose powder. *J. Food Eng.*, 72, 113-123.

[32] Soysal, Y., Öztekin, S., and Eren, Ö. (2006). Microwave drying of parsley: modelling, kinetics, and energy aspects. *Bio. Eng.*, 93, 403-413.

[33] Vongpradubchai, S., and Rattanadecho, P. (2009). The microwave processing of wood using a continuous microwave belt drier. *Chem. Eng. & Pro: Pro. Intensification.*, 48, 997-1003.

[34] Motivali, A., Hashemi, S.J., and Kiani, R. (2017). Investigation of Thermodynamic Parameters and Essential Oil Content in Drying of Rosemary by Applying a Microwave Pulsed Pretreatment. *ku-energy.*, 7, 42-51.

*Research Article***Modeling and Optimization of Energy Parameters in *Rosmarinus officinalis* Drying with Microwave Pretreatment Using Response Surface Methodology**

Vali Rasooli Sharabiani^{1*}, Ebrahim Taghi nejad², Ramzan Hadipour Rokni³

- 1.** Associate Professor, Department of Biosystem Engineering, Faculty of Agriculture and Natural Resources, University of Mohaghegh Ardabili, Iran.
2. Associate Professor, Moghan College of Agriculture and Natural Resources, University of Mohaghegh Ardabili, Ardabil, Iran.
3. Ph.D Student, Sari Agricultural Sciences and Natural Resouce University, sari, Iran.

Abstract

Today, the use of pretreatment operations has been considered to reduce the time and energy with the aim of reducing the cost of agricultural products drying, such as medicinal plants. In this research, the modeling and optimization of energy parameters in the *Rosmarinus officinalis* drying with microwave pretreatment was evaluated using response surface methodology in three treatments (90 W for 5 min, 180 W for 2.5 min and 360 W for 1.5 min) and control (without pretreatment) in a convection dryer at temperatures of 40, 50 and 60 °C and the constant air flow velocity of 0.4 m/s. The results showed that with increasing power (from 90 to 360 W) and temperature (from 40 to 60 °C), the amount of drying coefficient increased quadratically. The value of energy efficiency, drying efficiency, thermal efficiency and convective efficiency increased by increasing of power and temperature from 90 to 180 W and 40 to 50 °C, respectively, but these amounts decreased by increasing of power and temperature from 180 to 360 W and 50 to 60 °C, respectively. The increasing of the power (from 90 to 360 W) and temperature (from 40 to 50 °C) increased the amount of specific heat, specific power and specific energy consumption, while with increasing of temperatures from 50 to 60 °C, these values were reduced during quadratic equation. Based on modeling using RSM, optimum conditions for obtaining of the best energy parameters were determined to be microwave power of 360 W and drying temperature of 60 °C with desirability 99.5%.

Keywords: Energy optimization, Drying, Specific energy consumption, Thermal efficiency, *Rosmarinus officinalis*.

* Corresponding author: vrasooli@uma.ac.ir